С. Н. КУКУДЖАНОВ

О ПРИМЕНЕНИИ МЕТОДА ПОСЛЕДОВАТЕЛЬНЫХ ПРИБЛИЖЕНИЙ ДЛЯ ОПРЕДЕЛЕНИЯ КРИТИЧЕСКОЙ НАГРУЗКИ НЕРАВНОМЕРНО НАГРУЖЕННОЙ ЦИЛИНДРИ-ЧЕСКОЙ ОБОЛОЧКИ ПЕРЕМЕННОЙ ТОЛЩИНЫ

Приводится путь решения задач устойчивости цилиндрических оболочек переменной толщины, находящихся под действием переменного внешнего давления на основании метода последовательных приближений, который
дает возможность провести двусторонние оценки приближений наименьшего собственного числа. В отличке от известных работ [4] — [9] наряду с
оболочками средней длины рассмотрены длинные оболочки, когда края обовочки закреплены в продольном направлении. Получены простые формулы
и построены соответствующие крипке зависимости критической нагрузки
от амплитуды толщины. Приведены двусторониие оценки полученных результатов. Показана различная степень влияния переменной толщины на
иритическую нагрузку для длинных оболочек и оболочек средней длины, а
также существенное увеличение критической нагрузки при закреплении краев в осевом направлении.

1. Учитывая слабовыраженное волнообразование в продольном направлении в сравнении с окружным, для определения критического давления использовалась полубезмоментная теория [1, 2]. Уравнение устойчивости для оболочки переменной (вдоль образующей) толщины относительно радиального перемещения W имеет вид

$$\frac{\partial^{4}}{\partial x} \left(\frac{\partial^{2}}{\partial \beta^{2}} + 1 \right) w + \frac{\partial^{2}}{\partial \alpha^{2}} \left[h(\alpha) \frac{\partial^{2}}{\partial \alpha^{2}} \right] + \frac{T^{0}(\alpha)}{E} \frac{\partial^{4}}{\partial \beta^{2}} \left(\frac{\partial^{2}}{\partial \beta^{2}} + 1 \right) w = 0$$

$$\varepsilon(\alpha) = \frac{h^{3}(\alpha)}{12 R^{2} (1 - v^{2})} \qquad h(\alpha) = hf_{1}(\alpha), \qquad T^{0}(\alpha) = qf_{2}(\alpha) R$$

$$(1.1)$$

 $R\alpha$, $R\beta$ — координаты в осевом и окружном направлениях; R, l — радиус и длина оболочки; E, v — модуль упругости и коэффициент Пуассона; $f_1(\alpha)$ — функция изменения внешнего давления.

Для решения уравнения (1.1) в случае замкнутой оболочки необходимо удовлетворить четырем граничным условиям и продольном направлении (по два на каждом краю) и условию перподичности в окружном направлеции. Поэтому решение уравнения ищем в следующем виде:

$$w = X(z) \cos nz \tag{1.2}$$

Подставляя это выражение в (1.1), получаем

$$[f_1(z)X^{(2)}]^{(2)} + f_1^3(z)\gamma(n)X = if_2(z)X, \qquad z = \frac{h}{12\kappa^2(1-v^2)}$$
 (1.3)

$$t = t \omega(n), \quad \omega(n) = n^4(n^2 - 1), \quad \gamma(n) = \epsilon n^4(n^2 - 1)^2, \quad t = \frac{\eta R}{Eh}$$
 (1.4)

Граничные условия при α = const на основании гипотез полубезмоментной теории и выражения (1.2) принимают вид

$$v = 0 (X = 0), \quad u = 0 (X' = 0), \quad T_1 = 0 (X'' = 0), \quad S = 0 (X''' = 0)$$
 (1.5)

u, v — оселов и окружные смещения: T_u, S — нормальное и сдвигающее усилия. Таким образом, приходим к задаче на собственные значения для уравнения (1.3) с граничными условиями типа (1.5).

2. Поставленная задача решалась методом последовательных приближений с использованием постоянных Шварца [4]. Для краткости записи представим уравнение (1.3) и гоаничные условил типа (1.5) в операторном виде

$$M[X] = i f_{\alpha}(\alpha) X, \quad U_{L}[X] = 0$$
 (2.1)

Как известно, в методе последовательных приближений исходят из выбранной функции X_0 и каждую последующую функцию $X_1, X_2, ...,$ получают, решая краевую задачу (при этом для задачи на собственные значения λX заменяют на X). Далее определяют, так называемые, постоянные Шварца:

$$a_k = \int_0^L X_i X_{k-i} d\alpha, \quad k = 0, 1, 2, ..., \quad 0 < i < k$$
 (2.2)

(O,L) — интервал определения дифференциального уравнения. Затем находят отношение Шварца $\Gamma_{i}=a_{k}a_{k+1}^{-1}$. Существует теорема [4], на основании которой следует, что если задача на собственные значения является самосопряженной, полностью определенной и собственные значения не входят в краевые условия, то отношения Шварца Γ_{i} образуют монотонно убывающую сходящуюся последовательность, ограниченную синзу первым собственным значением. При этом для первого собственного значения справедлива оценка

$$\mu_{k+1} - a = i_1 \leqslant \mu_1 \qquad a = \frac{\mu_1 - \mu_{k+1}}{\rho_0 \mu_{k+1}^{-1} - 1}, \quad \mu_{k+1} < \rho_2 = i_3$$
 (2.3)

Таким образом, чтобы найти нижнюю границу для λ_1 , необходимо знать нижнюю границу ρ_2 для второго собственного числа λ_2 . Нижнюю границу ρ_2 нетрудно установить путем сраинения с задачей на собственные значения, коэффициенты которой постоянны.

Для сложных задач на собственные значения, к которым относится и вышеприведенная задача устойчивости, повторное решение часто наталкивается на определенные трудности. Поэтому важно выбрать достаточно хо-

рошо начальную функцию, чтобы уже в начальном приближении получить ностаточно точные результаты. Для втого класса задач можно исходить из функции X_1 (которая удовлетворяет всем краевым условиям), а X_0 определять на основании равенства $M[X_1] = l_2(\alpha) X$. При втом, чтобы начальная функции была достаточно хорошей, к функции X_1 прибавим удовлетворяющие краевым условиям функции \mathcal{F}_{i_1} умноженные на константы C_{i_1} пыбрав последине так, чтобы функция X_1 так же удовлетворяла краевым условиям, то есть возьмем

$$X_1 = X_1 + \sum_{i} C_i + \sum_{i} C_{i} + \sum_{i$$

и определим Ха на вышеотмеченного равенства

$$X_0 = M\{X_1^*\} f_i^{-1}(2) \tag{2.5}$$

где /-(«) № 0 в рассматринаемом интервале. Далее определяем постоянные Шварца и соответствующие отношения. Для уравнения (1.3) они являются функциями параметра п

$$a_0(n) = \int_0^L X_0 dx, \quad a_1(n) = \int_0^L X_0 X_1 dx, \quad a_2(n) = \int_0^L (X_1)^2 dx$$

$$y_1(n) = a_0(n) a_1^{-1}(n), \quad y_2(n) = a_1(n) a_2^{-1}(n)$$
(2.6)

Если ограничиться вторым приближением, тогда получаем

$$\mu_1(n) = l_1(n) = ln^4(n^2 - 1), \quad l = \mu_1(n)/n^4(n^2 - 1)$$
 (2.7)

Соответствующия критическая нагрузка t_{\bullet} будет при $n=n_{\bullet 1}$ реализующем минимум выражения (2.7). При этом оценка (2.3) примет вид

$$\frac{\mu_{3}(n_{s}) - \delta(n_{s})}{n_{s}^{4}(n_{s}^{2} - 1)} = \frac{\mu_{2}(n_{s})}{n_{s}^{2}(n_{s} - 1)} = \frac{\mu_{3}(n_{s}) - \mu_{3}(n_{s})}{2n_{s}^{2}(n_{s} - 1)} = 2.8$$

Далее были рассмотрены две задачи, представляющие определенный практический интерес. Во-первых, была рассмотрена задача устойчивости цилиндрической оболочки переменной толщины (синусондального типа), находящейся под действием равномерного внешнего давления. При этом исследовалась степень влияния как утолщения, так и утоньшения центральной части оболочки (наиболее чувствительной) на величину критической нагруали. Во-вторых, рассматривался случай дейстпия переменного давления на оболочку переменной толщины, изменяющихся по степенному закону. При этом, как было отмечено, края оболочки считались закрепленными в тангенциальном направлении $\mathfrak{D} = \mathfrak{u} = 0$ и, следовательно.

$$X(0) = X(L) = X(0) = X(L) = 0, L = l/R$$
 (2.9)

3. Рассмотрим случай синусондального изменения толщины

$$f_1(z) = 1 - a \sin \pi z L^{-1}, \quad 0 < a < 0, \quad |a| < 1, \quad f_2(z) = 1$$
 (3.1)

Нижнюю границу λ_2 найдем, решив вспомогательную задачу с постоянными коэффициентами. Для этого в исходном уравнении (1.3) заменим функцию (1 — $a\sin\pi L^{-1}2$) постоянной всличной и притом наименьшим се значением в интервале $0 \leqslant \alpha \leqslant L$. При a>0 наименьшее значение будет (1—a), а при a<0 это 1. Обозначим собственное значение полученного таким образом уравнения с постоянными коэффициентами через ρ . При этом имеем $X^{(4)} = \Lambda X$, где введено обозначение (при a>0) $\Lambda=\rho(1-a)^{-1}-\gamma(n)$ (1 — a)², (при a<0) $\Lambda=\rho-\gamma(n)$.

Второе собственное значение этого уравнения для краевых условий (2.9), как известно, будет $\Lambda_2 = (7.853 L^{-1})^4$, следовательно,

$$\varphi_z = (7.853 L^{-1})^4 + \gamma(n), \quad (a < 0)$$
(3.3)

На основании теоремы сравнения [4] для всех собственных значений и v_k имсем

Далсе нетрудно показать, что поставленная задача на собственные значения (1.3), (2.9), (3.1) является самосопряженной и полностью определенной при |a| < 1.

Перейдем к непосредственному решению задачи (1.3), (2.9), (3.1). На основании вышесказанного будем исходить на функции X_1 , которая удовлетворяет граничным условиям (2.9) и имеет вид (3.4). Константа C_1 определяется из условия, чтобы функция X_1 (α) удовлетворяла одному из главных граничных условий. Итак, введя обозначение $\alpha = \alpha L^{-1}$, имеем

$$X_1 = C_1 \alpha_1^2 (\alpha_1^2 - 1)^2 + 2C_2 \sin^2 \pi \alpha_1 \tag{3.4}$$

$$X_0 = [(1 - \alpha \sin \pi x_1) X_1^{12}]^{2\alpha} + \gamma(\alpha) (1 - \alpha \sin \pi x_1)^3 X_1$$
 (3.5)

Подставляя выражение $X_1(\alpha_1)$ в (3.5) и удовлетворяя условию $X_0(0)=0$, либо $X_0(1)=0$, получаем в силу симметрии одно и то же соотношение

$$C_2 = 4! (1 + a\pi) \left(\frac{L}{2\pi}\right)^4 C_1$$
 (3.6)

Следовательно, после подстановки выражений (3.4), (3.6) в (3.5) получаем функцию $X_0(\alpha_1)$, которая удовлетворяет условиям $X_0(0) = 0$.

Далее на основании (2.6) нетрудно определить $a_0(n)$, $a_1(n)$, $a_2(n)$, вычислив соответствующие интегралы. В качестве примера приведем случай, когда a=-0.5. При этом получаем

$$p_1(n) = \gamma(n) \cdot 3.07665 + L^{-4} \cdot 544.1816 + \frac{107.1217 L}{\gamma(n) L^{-4} \cdot 2.5604 \cdot 10^{-3} + 0.5271}$$

$$\mu_2(n) = \frac{1}{2}(n) \cdot 3.0244 + L^{-4} \cdot 622.6567$$

тогда, согласно соотношению (2.7), имеем

$$t = 3.0244 \cdot \epsilon (n^2 - 1) + 622.6567 L^{-4} n^{-4} (n^2 - 1)^{-1}$$
 (3.7)

Первоначально рассмотрим оболочки средней длины, для которых $(\pi R^{p-1})^4 \epsilon^{-1/2} \gg 1$. При этом будем считать, что $\pi^2 \gg 1$. Отметим, что это допущение не существенно для критической нагрузки оболочки средней длины. Тогда соотношение (3.7) примет вид

$$t = 3.0244 \, \epsilon_{H} - 622.6567 \, L^{-1} n^{-6}$$

Отсюда получаем следующие критические значения для n_* и t_* :

$$g_{*}^{2} = 1.05395 \, e^{-1/4} \theta, \quad t_{*} = 4.25015 \, e^{3/4} \theta, \quad \theta = 4.73 \, L^{-1}$$
 (3.8)

Оденим точность полученного значения. Обратимся к оценке (2.8), где пропределяется выражением (3.8), тогда получаем

$$4.24016 \, \varepsilon^{3.4} \theta \leqslant t \, \leqslant 4.25015 \qquad \qquad t_* = \frac{g \, R}{Eh} \tag{3.9}$$

Отсюда нетрудно видеть, что расхождение между нижним и верхним пределами будет менее 0.24%. Следовательно, во втором приближении мы получаем значение критической нагрузки (3.8), которое отличается от точного значения менее, чем на 0.24%. Это расхождение можно уменьшить за счет оценки (3.9), если взять среднее значение между нижним и верхним пределами, при этом 1 — 4.2452 г⁻¹в.

Полученное выражение отличается от точного на величину менее 0.12%. Под точным значением эдесь имеется в виду точное решение задачи (1.3). (2.9).

Исследуем теперь длинные оболочки (a=-0.5). Рассмотрим, например, оболочки, для которых выполняется условие $(-Ri^{-1})^2=10\,s^{1.5}$. Гогда ныражение (3.7) примет вид

$$t = [3.0244(n^2-1) + 639.2182n^{-4}(n^2-1)^{-1}] \epsilon$$

Наимельшее значение t реализуется при $n_* = 2$. Подставляя это значение n_* н (3.10), получаем $t = 22.3902 \, \epsilon$. Оценим точность этого значения. Обращаясь к оценке (2.8), при $n_* = 2$ получаем

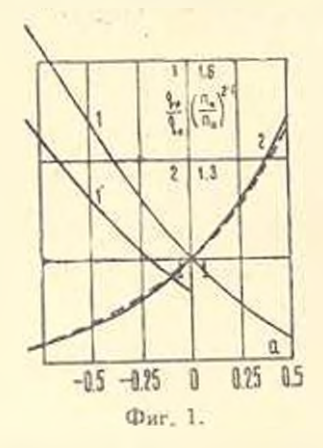
$$22.0058 \, \epsilon \leqslant t_* \leqslant 22.3902 \, \epsilon$$

Отсюда иетрудио видеть, что расхождение между верхним и нижним пределами будет менее 1.72%. Уточним полученный результат, беря среднее значение. При этом получаем

$$t_* = 22.198 \,\mathrm{s}$$
 (3.10)

Это значение отличается от точного на пеличину менее 0.86%. Аналогичным путем нетрудно определить критические нагрузки и для иных значений a, однако надо заметить, что приведенное решение практически приемлемо только для интервала — $1 \le a \le 0.5$, если мы ограничимся точностью не более 2%. При меньшей точности этот интервал можно расширить.

На фиг. 1 для оболочек средней длины приведена кривая 1, варисимость q^*/q_0 от параметра a и кривая 2 зависимости a от a (характеризум-



шего амплитуду изменения толщины); q^* , q^- критическое давление для оболочек переменной и постоянной толщины; n_a , n_0 соответственно критическое число поли; $n_0^2 = -\frac{1}{3} \epsilon^{-1/2}$, $n_0 = 1.755$ Кривую 2 в интервале ($-1 \le a \le 0.5$) с достаточной для практики точностью межно аппроксимироваты кривой (лунктирная кривая фиг. 1)

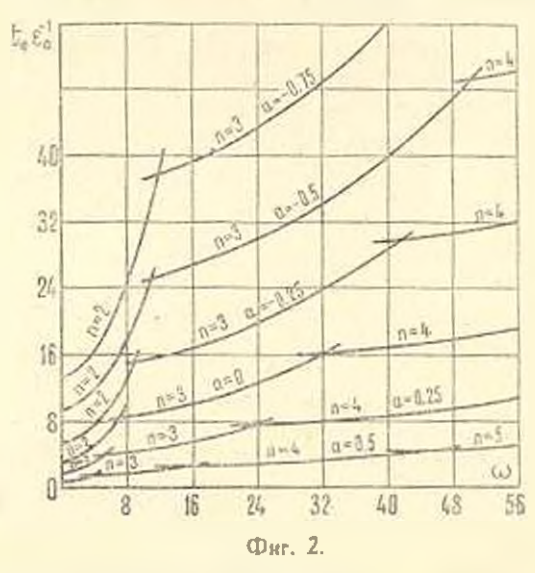
$$(n_0/n_0)^2 = (1-a)^{-1/2}$$
 (3.11)

В работе [7] для оболочек средней длины исследована такая же задача в случае

a < 0, когда края оболочки шарнирно оперты (фиг. 1, кривая 1). При сравнении кривых 1 и 1', нетрудно видеть, что критическая нагрузка существению увеличивается при закреплении краев в продольном направлении. При выводе формул критической нагрузки для оболочек средней длины было следано допущение n: 1. Предполагаем, как обычно, что это условие выполняется при n \Rightarrow 4 [3]. Тогда, подставляя в выражение (3.11) n \Rightarrow 4, получаем следующее неравенство:

$$\frac{l}{R} < 0.5 k \left(\frac{1 - v^2}{1 - a}\right)^{1/2} \left(\frac{R}{h}\right)^{1/2}, \quad k = 1.5$$
 (3.12)

ограничивающее l сверду для оболочек средней длины. Условие (3.12) эквивалентно условию $(=Rl^{-1})^2\epsilon^{-1}=\ge 60(1-a)$. На фиг. 2 для длинных



оСолочек приведены кривые изменения безраэмерной критической нагрузки в занисимости от безразмерного геометрического нараметра

 $\omega = (-\mathcal{R}!^{-1})^n \epsilon^{-1}$ для фиксированных значений a. При $\omega \geqslant 60(1-a)$ приведенные криями дают значения $\ell_{\phi}\epsilon^{-1}$, которые стремятся к значениям полученным на основании формул для оболочек средней длины, тем самым соотношение (3.12) подтверждается также графически.

Условнем применимости полубезмоментной теории для цилиндричесилх оболочек переменной в осеком направлении толщины являются соотношения [2]

$$\left|\frac{\partial^{2} w}{\partial x^{2}}\right| \ll \left|\frac{\partial^{2} w}{\partial \beta^{2}}\right| \left|\frac{\partial^{2} w}{\partial a^{2}}\left(D\left(x\right)\frac{\partial^{2} w}{\partial \beta^{2}}\right)\right| \ll \left|D\left(x\right)\frac{\partial^{4} w}{\partial x^{2}}\right|, \quad D\left(x\right) = \frac{h^{2}\left(x\right)}{12R^{2}\left(1-y^{2}\right)}$$

которые на основании выражения (1.3) сподятся к следующим:

$$X^{(2)} \ll n^2 X_s (DX)^{(2)} \ll n_s^2 (DX)$$
 (3.13)

где n_* определяется равенством (3.11). Учитывая приближенное решение (3.4), а также выражение $D(\infty)$ для вышерассмотренного интервала — $1 < a \le 0.5$ на основании расчетов получаем

$$X^{(2)}/X < 25^{2}, \quad (DX)^{(2)}/(DX) \le 25^{2}$$
 (3.14)

ва исключением малых вои, примыкающих к краям оболочки. Тогда соотношения (3.13) сводятся к условню $2^{6^2} \ll n^2$. Подставляя сюда выражения 6 и n_* , на основании (3.8), (3.11) получаем

$$\frac{1}{R} > M_0 k \left(\frac{1-\alpha}{\sqrt{1-\alpha^2}}\right)^{1/2} \left(\frac{h}{R}\right)^{1/2}; \ k = 1.5$$
 (3.15)

В работе [10] в случае шарнирного закрепления красв оболочки постоянной толідины ($k=1,\,a=0$) получена аналогичная оценка, при этом $M_0=15$. Используя это яначение M_0 для неравенства (3.15), получаем условия применимости полубезмоментной теории оболочек переменной толщины, ограничивающее ℓ снизу.

4. Поместия начало координат в середине образующей оболочки, рассмотрим следующий случай изменения толицины и давления (симметричные относительно середины оболочки)

$$h(a_1) = h[1 + a(1 - a_1^2)], \quad q(a_1) = q[1 - b(1 - a_1^2)]^{-1}, \quad a = 1. \quad (4.1)$$

L — половина длины оболочки. Поставленная задача на собственные значения является самосопряженной и полностью определенной при $a \geqslant 0$, $0 \leqslant b \leqslant 1$.

Удовлетворяя граничным условням (2.9), будем искать $X_1(\alpha_1)$ в следующем виде:

$$X_1 = C_1 L^4 (\alpha_1^2 - 1)^2 + C_2 L^6 (\alpha_1^2 - 1)^3$$
 (4.2)

Тогда на основании раненства (2.5) получаем следующее выражение для X_0 , (где $a_1=1+a$, $b_1=1-b$):

$$X_0 = \{ (a_1 - a a_1) X_1^{(2)} \} + \gamma(n) (a_1 - a_2)^3 X_1 \} (b_1 + b a_1^2)$$
 (4.3)

Подставляя выражения (4.2) в (4.3) и удовлетворяя условиям $X_0(1) = 0$, либо $X_0(-1) = 0$, получаем

$$C_1 = gL^{-2}C_1, \qquad g = -\frac{24 - 112a}{288 - 192a}$$
 (4.4)

Следовательно, после подстановки выражений (4.2), (4.4) в соотношение (4.3) имеем функцию $X_0(\alpha_1)$, которая в силу симметрии удовлетворяет условиям $X_0(1) = X_0(-1) = 0$. Далее на основании (2.6) легко определять соответствующие отношения Шварца. Полученные таким образом выражения, в общем виде, приводить не будем, пвиду их громоэдкости.

Рассмотрим первоначально оболочку постоянной толіцины, находящуюся под действием переменного давления ($a=0,b\neq0$), например, случай b=0.5 (при этом наибольшее эначение давления в середине оболочки в два раза больше, чем у края)

$$\mu_1(n) = \gamma(n) \cdot 0.550121 + L_1^{-1}18.36829 + \frac{9.8731 L^{-3}}{\gamma(n) \cdot 0.25606 + L^{-4} \cdot 8.17315}$$

$$rs_n(n) = \gamma(n) \cdot 0.544477 + L^{-1} 17.37904$$

Тогда, на основании (2.7)

$$t(n) = 0.544477 \, \epsilon (n^2 - 1) + 278.0646 \, n^{-4} (n^2 - 1)^{-1} L^{-4} \tag{4.5}$$

Отсюда, подобно предыдущему случаю, для оболочек средней длины имеем

$$n^2 = 1.32269 e^{-1.4} \theta$$
, $0.94214 e^{3/4} \theta \leqslant t_* \leqslant 0.96023 e^{3/4} \theta$

Если взять среднее значение между верхним и нижним пределами, то получим следующее выражение:

$$t_* = 0.95119 \, \epsilon^{3/4} \theta, \qquad t_* = \frac{q^* R}{E h}$$
 (4.6)

которое отличается от точного значения на величину менес 1%.

В рассматриваемом случае b=0.5 наибольшее эначение давления $\max q(0)=2q$, следовательно, безразмерная амплитуда $\max t_*$ будет $\max t_* = 2t_* = 1.90238\, \epsilon^{3.4}$. Сравним это значение с критическим эначением равномерно распределенного давления $(t_*)_0$ [3]

$$\max \ell_*/(\ell_*)_0 = 1.084, \quad (\ell_*)_0 = 1.755 \,\epsilon^{3/4} \,\theta$$
 (4.7)

В то же время практический интерес представляет сравнение полученного критического вначения (4.6) с критическим вначением осредненного давления $(t_*)_*$. На основании (4.1) получаем

$$(t_*)_a/(t_*)_0 = Vbb_1(\text{arc tg } Vbb_1^{-1})^{-1}$$
 (4.8)

Для b=0.5 отсюда имеем $(t_*)_0=0.6366$ (, , , тогда как из выражения (4.6) получаем $t_*=0.54199$ (t_*) $_0$. Следовательно, значение (t_*), больше t_* на 17.5 $^{0.1}_{-10}$, то есть осреднение дзвления приводит к сравнительно ощутимому завышению критического значения t_* .

Рассмотрим теперь длинные оболочки (a=0, b=0.5) с вышеприведенными размерами (τkl): $=10\,\varepsilon^{l}$. В данном случае на основании (4.5), (2.6) получаем $4.6383\,\varepsilon$ (3) $\leqslant 4.7963\,\varepsilon$. Отсюда имеем $l=4.7173\,\varepsilon$, которое отличается от точного значения на величину менее $0.6\,^{0}/_{0}$.

Сравним критическую амплитуду давления тах t_* с критическим значением равномерно распределенного давления (для оболочки с вышеприведеяными размерами) $(t_*)_{00}$

$$\max t_* = 2t_* = 9.4346 \, \epsilon, \quad (t_*)_{00} = 8.793 \, \epsilon, \quad \max t_* = 1.076$$

Далее, рассмотрим случай обслочки переменной толщины $a \neq 0$, находищейся под дейстнием постоянного давления b=0. Например, рассмотрим случай a=0.5. При этом для оболочек средней длины имеем

$$n_{\nu} = 1.05261 \, \epsilon^{-1.4} \, \theta$$
, $4.2865 \, \epsilon^{3.1} \, \text{f} \ll 1 \ll 4.3170 \, \epsilon^{1/4} \, \theta$

Взяв среднее значение между инжини и верхини пределами, получаем следующую формулу для критической нагрузки:

$$t_* = 4.3017 \, \epsilon^{3/4} \, 0 \tag{4.9}$$

которая отличается от точной на величину менее 0.35%. Полученное значение (4.9) сравним с значением критической нагрузки оболочки осредненной толщины. Формула для критической пагрузки оболочки осредненной толщины на основании (4.1) будет

$$(t_*)_c = \left(1 + a\frac{2}{3}\right)^{-1}(t_*)_c = 1.755 \,\varepsilon^{3.4}\,9$$
 (4.10)

Для нашего случая a=0.5, $(t_*)_c=2.053\,(t_*)_0$. Из формулы же (4.9) нмеем $t_*=2.4512\,(t_*)_0$. Отсюда получаем, что $(t_*)_c$ меньше t_* на 19.4%, Следовательно, осреднение толщины приводит к ощутимому занижению критической нагрузки.

Рассмотрим теперь для этого случая (a=0.5, b=0) длинные оболочки с вышеприведенными размерами ($\pi R l^{-1}$) $^3=10\,\epsilon^{1\alpha}$. При этом имеем $n_*=2$, $l=22.2925\,\epsilon$. Полученное значение отличается от точного на основании оценки (2.8) на величину менее $1.6\,^{\circ}l_{0}$. Формула для критической нагрузки длинной оболочки осредненной толщины имеет вид (l_*). $\left(1+a\,\frac{2}{3}\right)^3(l_*)_{00}$, (l_*) $_{00}=8.793\,\epsilon$. Следовательно, при a=0.5 (l_*) $_{c}=20.8426\,\epsilon$. Если сравнить это значение с полученным значением $l=22.2925\,\epsilon$, то нетрудно видеть, что оно меньше на $l=20.5\,\ell_{0}$, тогда как для оболочек средней длины мы получили расхож-

дение более, чем на $19.4\,^{\circ}/_{\circ}$. Следовательно, по мере увеличения длины оболочка переменной толщины становится менее жесткой в смысле устойчивости.

Далее, исследуем случай оболочки переменной толщины, находящейся под действием переменного давления a = 0, b = 0. Рассмотрим, например, случай $a = \frac{1}{2}$, $b = \frac{1}{2}$, то есть, когда толщина и давление в середине обо-

лочки увеличиваются в 1.5 раза в сраннении со значением у края. При атом для оболочки средней длины, подобно вышерассмотренным случаям, получаем

$$n_{\star}^{2} = 1.0625 \, e^{-1.4} \, \theta, \qquad 2.9923 \, e^{-3.4} \, \theta$$
 (4.11)

Полученное выражение критической нагрузки на основании оценки (2.8) отличается от точного на величину менее 1.1%. Сравним полученное значение (4.11) с критическим осредненным давлением оболочки осредненной толичны $(t_1)_{t_1}$ давлением $(t_2)_{t_3}$ давлением $(t_4)_{t_4}$ давлением (t_4)

толщины $(t_*)_{s,-}$ для $a=\frac{1}{2}\cdot b=\frac{1}{3}\cdot$ При этом получаем $t_*/(t_*)_{s,-}==1.08.$

Рассмотрим теперь длинные оболочки с вышеприведенной зависимостью $(\pi R l^{-1})^2 = 10 \, \epsilon^{1/2}$. При этом имеем $n_0 = 2$, $\ell_0 = 15.6754 \, \epsilon$.

Приведенное выражение критической натрузки на основании оценки (2.8) отличается от точного на величину менее 2.2%. При этом получаем $t_*/(t_*)_{s,c} = 0.98$.

Аналогичным путем нетрудно определить критические нагрузки для и ых a и b, однахо надо заметить, что если мы ограничиваемся точностью не более 3%, то приведенное решение приемлемо только для интервала 0 = a, b = 0.5.

Стметим, что, с другой стороны, сама полубезмоментная теория справедлива для сравнительно небольших показателей изменяемости толщины и внешней нагрузки. Поэтому для случаея, когда мы с успехом можем ограничиться начальными приближениями и привести оценку полученного результата, такой путь решения представляет определенный интерес.

Тонлисский математический институт им. А. М. Размадзе АН Грузниской ССР

Поступила 1 ІХ 1977

ն. Ն. Կուստեջևետվ

ԱՆՀԱՎԱՍԱՐԱՉԱՓ ԲԵՌՆԱՎՈՐՎԱԾ ՓՈՓՈԽԱԿԱՆ ՀԱՍՏՈՒԹՅԱՄԲ ԹԱՂԱՆԲԻ ԿՐԻՏԻԿԱԿԱՆ ԲԵՌԻ ՈՐՈՇՄԱՆ ՀԱՄԱՐ ՀԱԶՈՐԳԱԿԱՆ ՄՈՏԱՎՈՐՈՒԹՅՈՒՆՆԵՐ ՄԵԹՈԳԵ ԿԻՐԱՌՄԱՆ ՄԱՍԻՆ

Անսիրավում

Ցույց է արվում փոփոխական հաստությամբ գլանային թաղանքների կայունության խնդիբների լուծման ձանապարհը, երբ քաղանքները գտնվում են փոփոխական արտաքին ճնշման ազդեցության տակ։ Օդտադործվում է հաջորդական մոտավորությունների մեքիոդը, որը հնարավորություն է տալիս կրիտիկական բեռի որոշման համար բերել երկկողմահի գնահատականներ։

Դիտարկվել են մասնակի իռնդիրներ։

ON THE METHOD OF SUCCESSIVE APPROXIMATIONS FOR DETERMINING CRITICAL VARIABLE LOADS, ACTING ON SHELLS OF VARIABLE THICKNESS

S. N. KUKUJANOV

Summary

The way for solving problems on stability of cylindrical shells of variable thickness, acted upon by a variable load (in the axial direction), is given on the basis of the method of successive approximations. The estimates of upper and lower bounds for the critical load are presented. Some particular examples are considered.

АИТЕРАТУРА

- 1. Власов В. З. Основные дифференцияльные уравнения общей теории упругих оболочен. ПММ, 1944, т. 8, № 2.
- 2. Ново чилов В. В. Теория топких оболочек Л., Судпромена, 1967.
- 3. Вольмир А. С. Устойчивость деформируемых систем. М., Физматгия. 1967.
- 4. Колоти Л. Задачи на собственные значения. М., Изд. «Наука», 1968.
- 5. Анарсся Л. В.: Оболон И. И. Устойчивость цилинарических оболочек переменной толщины. Прикл. мех., 1968. т. 4, в. 5.
- 6. Анареся Л. В., Ободан Н. И. Применение метода теории позмущений для определения критических нагрузок перавномерно нагруженных цилиндрических оболочек переменной толщины. Тр. VIII Всесоюзи, конф. по теории об. и пл., 1971.
- 7. Ершов В. В., Рабисо В. Шалиткин В. А. Об устойчивости оболочек вращения переменной толщини. Тр. X Всесоюзи, конф. по твории об. и пл., 1975.
- Даревский В. М. Устойчивость подкрепленной цианпарической оболочки переменной толщины при переменном висшием давлении. Тр. X Всесоюзи, конф. по теории об. и па., 1975.
- 9. Мочалин А. А. Устойчивость полубезмоментной цилиндрической оболочки переменной толцинны. Изв. пысших учеби. завед., Машиностр., 1975, № 11.
- 10. Зювин В. А. Ваняние условий закрепасния торцов оболочки на неанчину критическо го внешнего давления. Тр. VI Всесоюзн. конф. по теории об. и пл., 1966.